

## УДАР СОСТАВНОГО СТЕРЖНЯ О ЖЕСТКУЮ ПРЕГРАДУ

БРИГАДИРОВ Г. В., ТОЛОКОННИКОВ Л. А.

Картина распространения упругопластических волн в однородном стержне при ударе о жесткую преграду впервые дана в [1]. В публикуемой работе, используя аналитические решения задач [2, 3], проводится анализ распространения волн в стержне, состоящем из двух однородных участков, на границе которых жесткости могут изменяться скачком.

1. Механическое поведение многих элементов конструкций моделируется как удар стержня о неподвижную преграду. В частности, для практики интересным является случай удара о жесткую преграду кусочно-однородного стержня, в котором выделяются два участка. При этом предполагается, что первый из участков, воспринимающих удар, может оказаться не только в упругом, но и в упругопластическом состоянии, а второй участок — только в упругом состоянии. Стержень движется со скоростью  $v$ , удар нормальный.

Обозначим:  $a_i$  и  $a_{s_i}$  — скорости распространения упругих и пластических возмущений;  $E_i$  — модуль Юнга,  $\varepsilon_{s_i}$  — деформационный предел текучести,  $l_i$  и  $s_i$  — длина и площадь поперечного сечения  $i$ -го участка стержня,  $x$  — координата вдоль оси стержня и положим  $v_{s_i} = a_i \varepsilon_{s_i}$ ,  $\tau_i = l_i a_i^{-1}$ ,  $\alpha = a_{s_1} a_1^{-1}$ ,  $k = E_2 s_2 a_1 (E_1 s_1 a_2)^{-1}$ .

Будем предполагать  $v > v_{s_1}$ . В этом случае в сечениях первого участка стержня в момент  $t = x a_1^{-1}$  распространяется волна предельных упругих деформаций, а в момент  $t = x a_{s_1}^{-1}$  пластическая волна интенсивности  $a_{s_1}^{-1} (v - v_{s_1}) - \varepsilon_{s_1}$ . Используя решение упругой задачи [2], можно показать, что волна предельных упругих деформаций, отражаясь от границы участков, имеет интенсивность  $(1-k)(k+\alpha)^{-1}\alpha^{-1}\varepsilon_{s_1} - \varepsilon_{s_1}$ .

Если параметры участков стержня таковы, что  $k < 1$ , отраженная волна будет волной разгрузки, если же  $k > 1$ , отраженная волна будет пластической.

В [3] получено полуаналитическое решение задачи упругопластического удара составного стержня о жесткую преграду. Физические соотношения определялись схемой Прандтля с упрочнением и линейным законом разгрузки. Процесс деформирования при этом разбивался на три этапа: упругий, упрочнения, разгрузки. В начальный момент времени перемещения точек стержня отсутствуют. Скорости всюду, за исключением контактирующего торца, совпадают со скоростью удара стержня. Скорость контактирующего сечения равна пулю. Начальными условиями для этапов упрочнения и разгрузки являются перемещения и скорости на фронтах волн предельных упругих деформаций и разгрузки. Границными условиями для всего процесса деформирования являются отсутствие перемещений ударяемого торца стержня и напряжений на свободном конце, а также условия непрерывности перемещений и усилий на границе участков. Процесс удара заканчивается, когда контактные напряжения обращаются в нуль. На каждом этапе для решения задачи применялись преобразования Лапласа. Обратные преобразования выполнялись по методике, изложенной в [2].

Для оценки полученных результатов проведено сравнение с численным решением, выполненным на ЭВМ методом конечных разностей. Для числового примера были приняты следующие значения параметров:  $v = 15$  м/с,  $l_1 = 1,47$  м,  $l_2 = 1,38$  м,  $s_1 = 6,46 \cdot 10^{-3}$  м<sup>2</sup>,  $s_2 = 1,147 \cdot 10^{-2}$  м<sup>2</sup>,  $a_1 = 1565$  м/с,  $a_2 = 2085$  м/с,  $\alpha = 0,2$ ,  $k = 1,333$ ,  $\varepsilon_{s_1} = \varepsilon_{s_2} = 4,3 \cdot 10^{-3}$ ,  $E_1 = E_2 = 7 \cdot 10^{10}$  Па,  $E_{s_1} = 2,56 \cdot 10^9$  Па.

На фиг. 1, 2 представлены графики изменения во времени контактных напряжений и напряжений на границе участков. Численное решение, показанное сплошными линиями, достаточно полно описывает скачкообразное изменение напряжений, вызванное действием падающих и многократно отраженных волн.

Используя аналитические выражения для деформаций первого и второго участков стержня на всех этапах процесса деформирования, приведенные в [3], проведем анализ распространения упругопластических волн и параметров нагружения для рассматриваемого процесса удара.

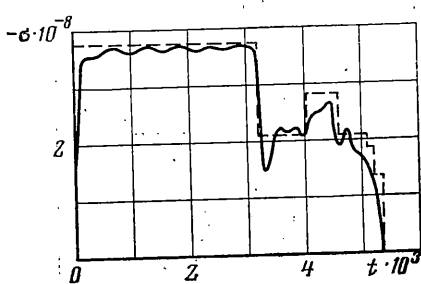
При этом ограничимся рассмотрением случая, имеющего практическое использование, когда в центральной части первого участка стержня не развиваются пластические деформации.

2. Рассмотрим случай  $k < 1$ . Отраженная от границы участков волна разгрузки, встретившая пластическую волну, распространяющуюся от ударяемого торца, образует стационарный фронт разрыва по деформациям  $x_0 = 2l_1\alpha(1+\alpha)^{-1}$ . Первый участок стержня в этом случае состоит из двух зон: зоны пластических деформаций  $0 \leq x \leq x_0$  и зоны упругих деформаций.

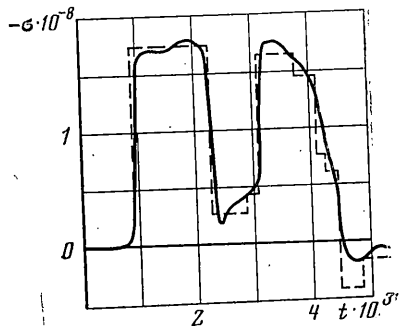
Картина распространения упругопластических волн в стержне представлена на фиг. 3. Условие отсутствия пластических деформаций в зоне  $x_0 \leq x \leq l_1$  имеет вид

$$vv_{s_1}^{-1} \leq 1 - 2(k-1)(k+1)^{-1}(1+\alpha)^{-1} \quad (2.1)$$

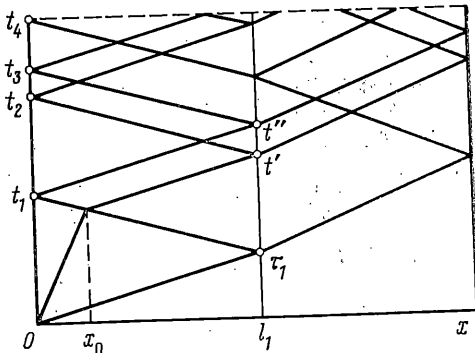
На фиг. 4 линия 5 является верхней границей области изменения параметров процесса удара, соответствующих условию (2.1). На фиг. 3 видно, что продолжительность удара в рассматриваемом случае, в зависимости от соотношения парамет-



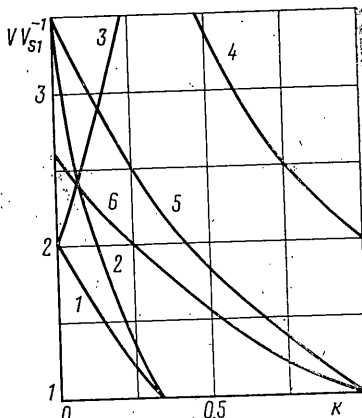
Фиг. 1



Фиг. 2



Фиг. 3



Фиг. 4

рор  $t_n$ , соответствует одному из моментов времени  $t_n$  ( $n=1, 2, 3, 4$ ). Области изменения параметров удара, соответствующие этим значениям, на фиг. 4 ограничены сверху линиями 1, 2, 3, 4.

Приведенные результаты для случая однородного стержня ( $k=0$ ) согласуются с результатами [1].

По окончании удара на первом участке стержня имеется одна зона остаточных деформаций интенсивностью  $\varepsilon_0 = (a_1 \alpha)^{-1} (1-\alpha^2) (v_{s1}-v)$ . В момент времени  $t_1$  второй участок стержня будет деформироваться упруго при условии

$$v_{s2} > v_{s1} 2(k+1)^{-1} \quad (2.2)$$

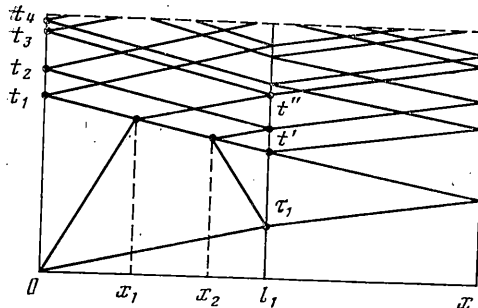
Если стержень выполнен из одного материала, в случае упругопластического деформирования первого участка второй участок будет испытывать пластические деформации всегда.

Если параметры удара определяются областью, ограниченной сверху линией 1 на фиг. 4, то условие упругого деформирования второго участка стержня не зависит от скорости удара.

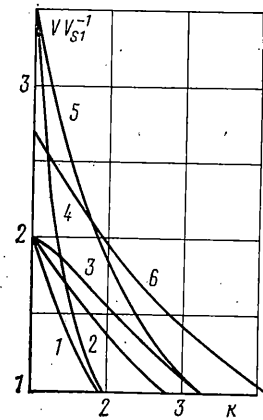
В момент времени  $t'$  и  $t''$  второй участок стержня будет в упругом состоянии, если параметры удара удовлетворяют условиям  $v_{s2} > v_{s1}(1-\alpha)(k+1)^{-1} + v(4+\alpha) \times (k+1)^{-1}$  и  $v_{s2} > v_{s1} 2(k+1)^{-1} [(k-1)(k+1)^{-1} + v v_{s1}^{-1}]$ .

3. Рассмотрим случай  $k > 1$ . В этом случае от границы участков отражается пластина волна. От свободного торца стержня отражается волна разгрузки. Дополнив пластину волну, она образует стационарный фронт разрыва по деформациям в сечении  $x_2 = l_1 - 2l_2 a_1 a_2^{-1} \alpha (1-\alpha)$ . Встретив пластину волну, распространяющуюся от ударяемого торца, она образует другой стационарный фронт разрыва в сечении  $x_1 = 2\alpha (1+\alpha)^{-1} (l_1 + a_1 a_2^{-1} l_2)$ .

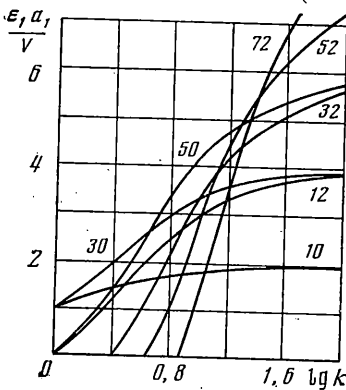
Картина распространения упругопластических волн в стержне в предположении  $x_2 > x_1$  показана на фиг. 5, из которой следует, что окончание удара, в зависимости от характеристик участков стержня и скорости удара, возможно в один из моментов времени  $t_n$  ( $n=1, 2, 3, 4$ ). На фиг. 6 области изменения параметров удара, соответствующие этим моментам времени, ограничены сверху линиями 1, 2, 3, 4 соответственно.



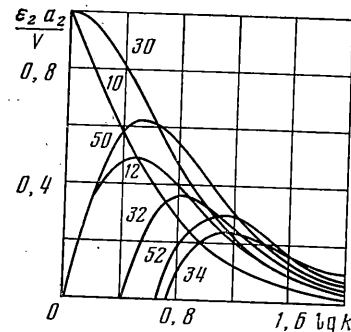
Фиг. 5



Фиг. 6



Фиг. 7



Фиг. 8

Отсутствие повторных пластических деформаций в сечениях  $0 \leq x \leq x_1$  приводит к условию

$$vv_{s1}^{-1} \leq 1 + 2k(1+\alpha)(k^2 - \alpha^2)^{-1} - (k-1)(k-\alpha)^{-1} \quad (3.1)$$

а в сечениях  $x_1 \leq x \leq x_2$ :

$$vv_{s1}^{-1} \leq 1 + 4k(k+1)^{-1}(k+\alpha)^{-1} - 2(k-1)^2[(k+1)(k+\alpha)(1+\alpha)]^{-1} \quad (3.2)$$

Области изменения параметров удара, соответствующие условиям (3.1) и (3.2), на фиг. 6 ограничены сверху линиями 5 и 6.

Для однородного стержня ( $k=1$ ) полученные результаты по-прежнему согласуются с результатами из [1].

По окончании удара на первом участке стержня в сечениях  $0 \leq x \leq x_1$  имеют место остаточные деформации  $\epsilon_1 = (v_{s1} - v)(1 - \alpha^2)(a_1 \alpha)^{-1}$ , а в сечениях  $x_2 \leq x \leq l_1$  — деформации  $\epsilon_2 = \epsilon_{s1}(1-k)(1-\alpha^2)[\alpha(k+\alpha)]^{-1}$ . Остаточные деформации на участке  $x_2 \leq x \leq l_1$  не зависят от скорости удара, а определяются лишь соотношением характеристик участков стержня.

Второй участок стержня в момент  $\tau_1$  будет деформироваться упруго, если

$$v_{s2} > v_{s1}(1+\alpha)(k+\alpha)^{-1} \quad (3.3)$$

Из соотношения (3.3) следует, что развитие пластических деформаций на втором участке стержня в этот момент не зависит от скорости удара. В последующие моменты времени эта связь проявляется. Например, в момент  $t'' = 3\tau_1 + 2(\tau_2 - x_1 a_1^{-1})$  условие упругого деформирования второго участка стержня будет  $v_{s2} > v_{s1} 2(k-1) \times (k+1)^{-1}(k+\alpha)^{-1} + (1+\alpha)(k+1)^{-1}(v-v_{s1})$ . Аналогичное условие может быть получено и для момента  $t'$ . Можно построить области изменения параметров процесса удара, обеспечивающих упругое деформирование второго участка стержня, подобно фиг. 4 и 6.

4. Если  $v < v_{s1}$ , то по первому участку стержня начнет распространяться волна упругих деформаций. Пластические деформации на первом участке стержня возникнут в сечении  $x = l_1$  при  $k > 1$ . Момент возникновения и интенсивности этих деформаций определяются параметрами  $v$ ,  $k$  и  $\tau_1$ .

Используя выражения для деформаций, приведенные в [2], можно построить графики изменения деформаций первого участка стержня в сечении  $x=l_1$  в зависимости от  $k$  для различных соотношений параметров  $\tau_i$ . Для примера на фиг. 7 представлены такие графики для случая  $\tau_1 \leq \tau_2 \leq 1,5\tau_1$ . Для различных моментов времени  $t_{pq} = p\tau_1 + q\tau_2$  эти графики представляют семейство кривых, огибающая которых является верхней границей области изменения параметров процесса удара, при которых первый участок деформируется упруго.

Деформирование второго участка стержня в момент прихода упругой волны будет упругим при выполнении условия (2.2).

Для  $k < 1$  выполнение этого условия гарантирует упругое деформирование второго участка стержня и в последующие моменты времени.

Для случая  $k > 1$  на фиг. 8 представлены кривые изменения деформаций второго участка стержня в сечении  $x=l_1$  в зависимости от  $k$  для того же значения соотношения параметров  $\tau_i$ . Огибающая этих кривых является верхней границей области изменения параметров процесса удара, удовлетворяющих условию упругого деформирования второго участка стержня. Числа у кривых на фиг. 7 и 8 соответствуют индексу момента времени  $t_{pq}$ .

#### ЛИТЕРАТУРА

1. Ленский В. С. Об упругопластическом ударе стержня о жесткую преграду. — ПММ, 1949, т. 13, вып. 2, с. 165—170.
2. Аверин В. В., Бригадиров Г. В. Упругий удар составного стержня. — Прикл. механика, 1980, т. 16, № 2, с. 95—101.
3. Бригадиров Г. В., Аверин В. В. Упругопластический удар неоднородного стержня. — В кн.: Исследования в области пластичности и обработки металлов давлением. Тула: Изд-е Тульск. политехн. ин-та, 1980, с. 45—52.

Тула

Поступила в редакцию  
17.V.1984

Технический редактор Т. В. Скворцова

Сдано в набор 05.06.85 Подписано к печати 02.08.85 Т-14868 Формат бумаги 70×108<sup>1/16</sup>  
Высокая печать Усл. печ. л. 16,8 Усл. кр.-отт. 24,6 тыс. Уч.-изд. л. 18,0 Бум. л. 6,0  
Тираж 1451 экз. Зак. 1467

Ордена Трудового Красного Знамени издательство «Наука»,  
103717 ГСП, Москва, К-62, Подсосенский пер., 21  
2-я типография издательства «Наука», 121099, Москва, Шубинский пер., 6